

# بررسی تأثیر ناهمگونی تقسیم سلولی در میزان برداشت IudR توسط سلولهای گلیوما در کشت اسفروئید و تک لایه‌ای با استفاده از روش فلوسیتومتری

علی نشاسته ریز، Ph.D.✱✧

✧ دانشگاه علوم پزشکی ایران، دانشکده پیراپزشکی

✧ آدرس مکاتبه: تهران، صندوق پستی ۶۱۸۳-۱۴۱۵۵، دانشگاه علوم پزشکی ایران،

دانشکده پیراپزشکی

## چکیده

**هدف:** بررسی اثر ناهمگونی در تقسیم سلولی (Proliferation heterogeneity) در برداشت IudR (Iodo-2'-deoxy uridine) توسط سلولهای گلیوما کشت شده به صورت تک لایه‌ای در فازهای نمایی (Exponential) و ثابت (Plateau) و اسفروئید در اندازه‌های مختلف با استفاده از روش فلوسیتومتری

**مواد و روشها:** کشت سلولی با استفاده از خط سلولی U251 منشعب از گلیوما انسانی گرید IV به صورت تک لایه‌ای در فازهای نمایی و ثابت انجام گرفت. اسفروئیدها از خط سلولی یاد شده در دو اندازه متفاوت کوچک، (۲۰۰-۱۰۰ میکرومتر) و بزرگ (۱۰۰۰-۷۰۰ میکرومتر) کشت شده و با غلظتهای متفاوت IudR از ۱۰۰ میکرومولار تا ۱۰ نانومولار برای یک تا چهار برابر زمان دو برابر شدن (DT: Doubling Time) نگهداری شدند. درصد سلولهای نشاندار شده با IudR با استفاده از فلوسیتومتری در غلظت و DT متفاوت، اندازه گیری و مقایسه شدند.

**یافته‌ها:** نتایج حاصل نشان داد که رابطه معکوسی بین قطر اسفروئید و نسبت سلولها در چرخه سلولی وجود دارد. در کشت تک لایه‌ای بیشتر از ۹۵ درصد از سلولها در فاز نمایی و ۶۲ درصد در فاز ثابت توسط IudR بعد از یک DT نشاندار شدند. نسبت نشاندار شدن (LI: Labelling Index) در اسفروئیدهای کوچک حدود ۷۶ درصد و در اسفروئیدهای بزرگ بعد از یک DT برابر ۲۸ درصد بود. نسبت سلولهای نشاندار شده (LI) در اسفروئیدهای کوچک و بزرگ با افزایش زمان انکوباسیون از یک به چهار DT افزایش یافت.

**نتیجه‌گیری:** این نتایج می‌تواند به عنوان الگویی برای درمان گلیوما با روش Targeted radiotherapy زمانی که از IudR نشاندار شده با مواد رادیوکتیو بهره گرفته می‌شود، به صورت روش درمانی مکمل برای منهدم کردن سلولهای توموری باقیمانده بعد از جراحی استفاده شود.

**کل واژگان:** IudR، گلیوما، پروليفراسیون سلولی، فلوسیتومتری

## مقدمه

دانش پرولیفراسیون سلولی در تومورهای انسانی می‌تواند به عنوان اطلاعات با ارزشی در برنامه تشخیص و درمان به کار گرفته شود. مطالعه سنتز سلولی می‌تواند کمک بسیاری در نمایان سازی عوامل رشد سلولهای توموری و بدخیمی بیولوژیکی آنها داشته باشد (۱). روشهای سنتی برای اندازه گیری میزان سنتز سلولی شامل استفاده از مواد رادپسواکتیو و مشتقات DNA به ویژه تیمین نشاندار شده با تریتیوم و اتورادیوگرافی برای نمایان ساختن ورود رادیونوکلوئید در داخل سلول وجود دارد (۲، ۳). به هر حال ممکن است مطالعات اتورادیوگرافی برای تکمیل زمانی طولانی نیاز داشته باشد و نتایج آنها ارزش محدودی در تکمیل درمان در بیماران متفاوت دارد. به همین دلیل و نیز به خاطر صدمات ناشی از استفاده از مواد رادپسواکتیو (H3-Thymidine) اندازه گیری سنتز سلولی هرگز مرسوم نشد (۴).

تکنیک مترادف این اندازه گیری استفاده از بررسیهای فلوسیتومتری برای مطالعه وارد شدن برمودی اکسی یوریدین (BrdU) در داخل سلول با توجه به حجم محتویات DNA و اندازه گیری پروپدیوم آیداید (PI) است که همانند تیمین، BudR و IudR در مرحله S وارد DNA می‌شود. آنتی BudR آنتی بادی می‌تواند برای اندازه گیری نسبت سلولهای در حال تقسیم استفاده شود. امتیاز فلوسیتومتری بر تریتیوم اتورادیوگرافی شامل سرعت، قدرت کمی و قابلیت اندازه گیری همزمان است. مطالعات متعددی با استفاده از روشهای فلوسیتومتری در تعیین فعالیتهای پرولیفراسیون سلولی در نئومور مغزی یا استفاده از IudR یا BudR صورت گرفته است (۵، ۶). IudR در دی اکسی ریبونوکلیتیک سلولهایی وارد می‌شود که در فاز S قرار دارند. حضور سلولهایی که در فاز G<sub>0</sub> قرار دارند و تقسیم نمی‌شوند یکی از محدودیتهای عمده در استفاده از این رادپودارو در تومور هدف است. لذا باید اثر ناهمگونی در تقسیم سلولی بر پرتو درمانی IudR ارزیابی شود، زیرا محاسبات تئوری نشان داده است که این ناهمگونی می‌تواند به عنوان یک عامل محدود کننده در درمان تأثیر گذار باشد (۷).

این تأثیر در مطالعات دیگری نیز با به کارگیری IudR نشاندار شده با رادیواکتیو در مدل‌های گلیوسارکوما روندت، آسیت تخمدان (۸)، متزیال کارسینوما (۹، ۱۰)، گلیوما انسانی (۱۱) و رت (۱۲) نشان داده شده است.

روش فلوسیتومتری در مطالعه حاضر به کار گرفته شد تا میزان برداشت IudR توسط سلولهای گلیوما کشت شده به صورت (تسمایی، ثابت) تک لایه‌ای و اسفروئید در اندازه‌های مختلف اندازه گیری شود.

اساس این روش، اندازه گیری نسبت سلولهای نشاندار شده با IudR در شرایط *In vitro* در حالت‌های مختلف کشت است. این نتایج می‌تواند به عنوان یک الگو در درمان با روش رادیودرمانی سلول هدف و تأثیر ناهمگونی تقسیم سلولی در برداشت IudR نشاندار شده با رادیواکتیو به کار گرفته شود.

## مواد و روشها

خط سلولی U937 منشعب از گرید IV گلیوما به کار گرفته شد. کشت به صورت تک لایه‌ای با استفاده از محیط MEM حاوی (V/V) ۱۰ درصد سرم جنین گاوی، پنی سیلین و استرپتومایسین (۱۰۰۰ I.U/ml)، ضد قارچ (۲ mg/ml) و گلوتامین (۲۰۰ میلی مولار) در فاز نمایی صورت گرفت. DT سلولی برابر ۴۴ ساعت بود.

## \* کشت در فاز ثابت

۱۰<sup>۵</sup> سلول در میلی لیتر در پلیت ۲۴-well روی Coverslip کاشته و در هر خانه یک میلی لیتر محیط کشت ریخته شد. پس از انکوباسیون در انکوباتور حاوی گاز کربنیک برای ۳-۱ روز، Coverslip به پتری دیش ۹۰ سانتی متر حاوی ۲۰ میلی لیتر محیط کشت منتقل شده و سپس در انکوباتور حاوی گاز کربنیک قرار داده شد. محیط کشت تا زمان انباشته شدن سلولها روی Coverslip، هر دو روز تعویض شد. بعد از ۱۲ روز رشد سلولها متوقف شده و شمارش سلولی هیچ افزایشی را در تعداد سلولها نشان نداد.

## \* کشت اسفروئید

حدود یک میلیون سلول از خط سلولی در فاز نمایی در پتری دیشهای بیولوژیک که حاوی ۱۵ میلی لیتر محیط کشت بود، در شرایط گاز کربنیک پنج درصد برای ۴۸ ساعت انکوباسیون شدند. سپس سلولها به فلاسکهای چرخنده حاوی ۱۰۰ میلی لیتر محیط کشت در شرایط گاز کربنیک ۵ درصد و حرارت ۳۷° سانتی گراد منتقل شدند تا اسفروئیدهایی با اندازه‌های مختلف به دست آید.

## \* فلوسیتومتری

فلوسیتومتری برای سلولها در شرایط تک لایه‌ای برای فازهای نمایی و ثابت، همچنین برای تک سلولهای به دست آمده از اسفروئیدها انجام شد. در این روش اسفروئیدها در محلول (V/V) ۲۵ درصد PBS<sup>۱</sup> و EDTA<sup>۲</sup> یک میلی مولار برای مدت ۱۰ دقیقه در دمای ۳۷° سانتی گراد قرار گرفتند. سپس با افزودن ۵/۰ میلی لیتر محیط کشت، اسفروئیدها به صورت مکانیکی تخریب شده و از یک سوزن با اندازه ۲۵ عبور داده شدند. آزمایشهای میکروسکوپی، تک سلولی بودن آنها را تأیید نمود. سلولها برای مدت ۵ دقیقه با سرعت ۲۰۰۰g سانتریفوژ شده و پس از برداشتن مایع رویی، در اتانول ۷۰ درصد آگیری و تثبیت شدند. تجزیه DNA با افزودن یک میلی لیتر اسید کلریدریک دو مولار پس از سانتریفوژ در سرعت ۲۰۰۰g برای مدت ۵ دقیقه انجام شد.

محصول به دست آمده با افزودن ۱ میلی لیتر از بافر بوراکس خشی

1. Bromodioxiridine
2. Propidium Iodide
3. Minimal Essential Medium
4. Phosphate Buffered Saline
5. Ethylenediamine tetraacetic acid

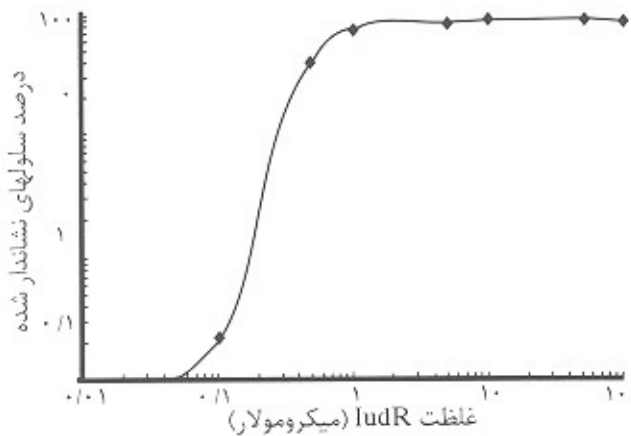
### \* آنالیز آماری

ارتباط بین IudR LI و زمان انکوباسیون به وسیله آنالیز رگرسیون برای هر یک از حالات کشت سلولی خطی بررسی شد. نسبت نشاندار شدن پس از انکوباسیون برای دو DT یا بیشتر با Pairwise basis انجام شد. برای مقایسه نسبت نشاندار شدن کشت‌های متفاوت (فاز نمایی با ثابت و اسفروئیدهای کوچک با اسفروئیدهای بزرگ) student t test انجام شد و در تمام حالات  $P < 0.05$  بود.

### یافته‌ها

#### \* غلظت IudR برای مطالعات کشت تک لایه‌ای

نمودار شماره ۱ درصد سلولهای نشاندار شده توسط IudR را در محدوده غلظتهای متفاوت از ۱۰۰ میکرومولار تا ۱۰ نانومولار نشان می‌دهد. حداکثر درصد ثابت از سلولهای نشاندار شده در غلظت یک میکرومولار و بالاتر به دست آمد. غلظتهای کمتر از ۱/۰ میکرومولار هیچ سلول لکه‌دار شده با آنتی BudR را نشان نداد.



نمودار ۱: درصد ثابت در کشت تک لایه‌ای پس از انکوباسیون بر غلظتهای متفاوت IudR از (۱۰۰ nM-۱۰۰۰ μM)

#### \* غلظت IudR برای مطالعات کشت اسفروئید

نشاندار شدن سلولها توسط IudR در اسفروئیدها با مطالعاتی که غلظت IudR از ۱۰۰ میکرو مولار تا ۱۰ نانومولار بود پس از زمان انکوباسیون برای یک DT انجام شد. دو اندازه متفاوت از اسفروئید ۳۰۰-۴۰۰ و ۷۰۰-۱۰۰۰ میکرومتر انتخاب شد تا اثر اندازه میکرواسفروئیدها و ناهمگونی تقسیم سلولی در برداشت IudR مطالعه شود. ارتباط بین غلظت IudR و سلولهای نشاندار شده در نمودار ۲ نشان داده شده است. نتایج به دست آمده برخلاف کشت تک لایه‌ای نشاندار شدن تمام سلولها را در همه اندازه‌های اسفروئیدها نشان می‌دهد. بر اساس این نتایج غلظت ۱۰۰ میکرومولار از IudR به اندازه کافی قابلیت اندازه‌گیری دقیق سلولهای نشاندار شده را در کشت اسفروئیدها دارد.

شد. بعد از ۲/۵ دقیقه سلولها مجدداً سانتیفرژ شده و با ۱ میلی لیتر از PBS و یک میلی لیتر PBT (pH ۸/۵) برای مدت ۵ دقیقه شستشو شدند. ۱۰۰ میلی لیتر از آنتی BudR آنتی بادی رفیق شده به نسبت ۱/۱ (Dako, UK) در PBT به سلولها افزوده و برای مدت یک ساعت در حرارت اتاق نگهداری شد. سپس در PBS سه بار شستشو شده و پس از برداشتن مایع روئی، ۱۰۰ میلی لیتر از anti-mouse FITC و ۲ (Dako, UK) رفیق شده به نسبت ۱/۱ در PBT به سلولها افزوده شده و برای مدت ۳۰ دقیقه در حرارت اتاق نگهداری شد. سپس سلولها سه بار با PBS شستشو شده و یک میلی لیتر PI به آنها اضافه شد و برای مدت ۳۰ دقیقه در حرارت اتاق نگهداری شدند. بعد از سانتیفرژ کردن سلولها و برداشتن مایع روئی آن، سلولها مجدداً در یک میلی لیتر PBS فرار گرفتند. آنالیز فلوسیتومتری توسط دستگاه Epics couler (Florida, USA) با لیزر ۱۵ میلی ولت آرگون در ۴۸۸ نانومتر انجام گرفت.

#### \* اثر غلظت IudR در میزان برداشت آن در سلولهای تک لایه‌ای

۵-۲-۲ دی اکسی یوریدین (sigma, pool Dorsete) در محیط کشت حل شد تا غلظتهای متفاوتی از IudR از ۱۰۰ میکرومولار تا ۱۰ نانومولار ایجاد شود. محصول به دست آمده با استفاده از فیلترهای ۰/۲۲ (Millipore, France) استریل شد. سلولهای تک لایه‌ای در فازهای نمایی و ثابت در شرایط ۳۷ سانتی گراد و گاز کربنیک پنج درصد و برای یک DT برابر ۴۴ ساعت با غلظتهای متفاوت IudR انکوباسیون شده، سپس طبق روش رایج شده توسط فلوسیتومتری آنالیز شدند.

#### \* اثر غلظت IudR در میزان برداشت آن در اسفروئیدها

تأثیر غلظت IudR در دو محدوده اسفروئید ۳۰۰-۴۰۰ و ۷۰۰-۱۰۰۰ میکرومتر اندازه‌گیری شد. اسفروئیدها پس از انتقال از فلاسک چرخنده به فلاسکهای ۲۵ سانتی متر مربع که سطح آنها توسط آگار یک درصد (W/V) پوشیده شده بود در شرایط گاز کربنیک پنج درصد با غلظتهای متفاوت IudR برای مدت ۵۲ ساعت انکوباسیون شدند. پس از شستن اسفروئیدها در محلول PBS و تخریب آنها توسط تریپسین تجزیه فلوسیتومتری صورت گرفت.

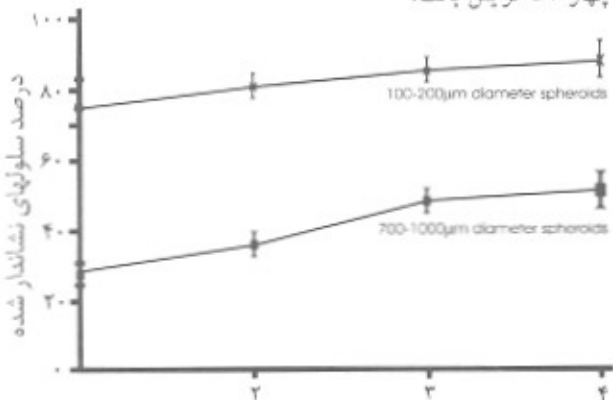
#### \* اثر اندازه اسفروئید و زمان انکوباسیون در برداشت IudR

اسفروئیدهای مختلف در اندازه‌های ۱۰۰-۲۰۰ و ۷۰۰-۱۰۰۰ میکرومتر پس از انتقال از فلاسک چرخنده به فلاسکهای ۲۵ سانتی متر مربع که با آگار پوشیده شده بود با ۱۰۰ میکرومولار IudR از یک تا چهار DT (۵۲ تا ۲۰۸ ساعت) در انکوباتور نگهداری شدند. تجزیه فلوسیتومتری برابر روش گذشته صورت گرفت.

میانگین  $61/5$  درصد ( $SE \pm 1/7$ ) بعد از یک DT به  $84/8$  درصد ( $SE \pm 1/9$ ) بعد از سه DT رسید. معادله رگرسیون خطی در ارتباط با  $LI$  و زمان انکوباسیون در واحدهای DT (T) به صورت  $T = 50/11 + 11/5 LI$  بود. مقایسه جفت گروهها نشان داد که البته از  $2$  و  $3$  DT به صورت معنی داری بالاتر از یک DT است ( $P < 0.05$ ).

### \* اثر اندازه اسفروئید و زمان انکوباسیون در برداشت IudR

ارتباط بین  $LI$  IudR و زمان انکوباسیون در شکل ۴ نشان داده شده است. نشان دار شدن سلولها توسط IudR در اسفروئیدهای چک ( $200-1000$  میکرومولار) با افزایش زمان انکوباسیون افزایش یافت ( $r = 0/77, P < 0.001$ ).  $LI$  با میانگین  $76/5$  درصد ( $SE \pm 1/9$ ) بعد از یک DT به  $88/5$  درصد ( $SE \pm 1/0$ ) بعد از چهار DT افزایش یافت.

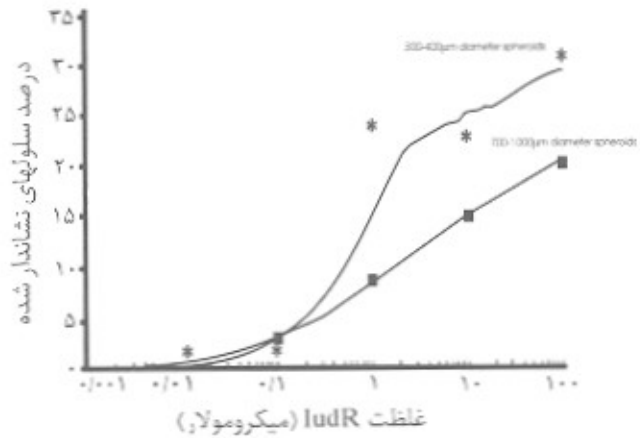


مدت انکوباسیون (بر حسب ضربی از زمان دو برابر شدن حجمی) نمودار ۴: نسبت نشان دار شدن برای اسفروئید کوچک و بزرگ بعد از انکوباسیون به مدت یک تا چهار زمان دو برابر شدن حجمی در غلظتهای متفاوت IudR

معادله رگرسیون خطی  $LI$  و  $T$  در واحدهای DT با  $LI = 72/8 + 4T$  برابر بود. مقایسه جفت گروهها نشان داد که  $LI$  پس از  $3$  و  $4$  DT به صورت معنی داری پس از یک DT بالاتر است ( $P < 0.05$ ).  $LI$  در اسفروئیدهای بزرگ ( $1000-700$  میکرومتر) نیز پس از افزایش زمان انکوباسیون افزایش یافت ( $r = 0/82, P < 0.001$ ) ولی این میزان افزایش  $LI$  از  $LI$  اسفروئیدهای کوچک در تمام زمانهای انکوباسیون پایین تر بود. میانگین  $LI$  در اسفروئیدهای بزرگ از میانگین  $29$  درصد،  $2/3$  ( $SE \pm 2/3$ ) برای یک DT به  $51$  درصد  $4/3$  ( $SE \pm 4/3$ ) بعد از چهار DT افزایش یافت. معادله رگرسیون خطی  $LI$  و  $T$  برای اسفروئیدهای بزرگ به صورت  $LI = 21/5 + 7/8 T$  بود. مقایسه جفت گروهها نشان داد که  $LI$  بعد از  $3$  و  $4$  DT به صورت معنی داری بالاتر است ( $P < 0.005$ ).

### بحث

هدف اصلی این مطالعات، بررسی اختلاف در برداشت IudR برای اشکال مختلف کشت سلولی جهت تعیین تأثیر افزایش زمان انکوباسیون و غلظت IudR بر محدودیت برداشت IudR اعمال شده توسط ناهمگونی

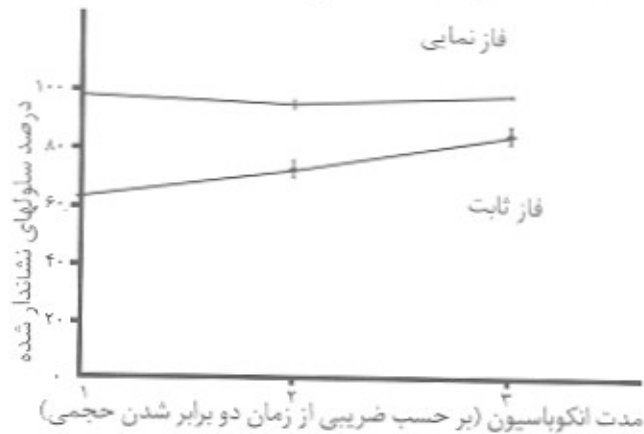


نمودار ۳: درصد  $LI$  در کشت اسفروئید پس از انکوباسیون در غلظتهای متفاوت IudR

این غلظت همچنین با غلظت قابل استفاده از IudR در مطالعات کلینیکی نیز مطابقت دارد؛ به همین دلیل برای اندازه گیری تأثیر زمان انکوباسیون در میزان سلولهای نشاندار شده به کار گرفته شد. به طور اساسی در غلظتهای کمتر از  $0/1$  میکرومولار هیچ گونه سلولی که با آنتی BudR نشان دار شده باشد مشاهده نشد.

### \* برداشت IudR در کشتهای تک لایه‌ای

اثر ناهمگونی تقسیم سلولی در برداشت IudR در سلولهای فاز نمایی که دارای کمترین میزان ناهمگونی تقسیم هستند و سلولهای در فاز ثابت با سطح بالاتری از ناهمگونی تقسیم سلولی مطالعه شد. سلولها برای یک تا سه DT با غلظت  $10$  میکرومولار IudR، انکوباسیون شدند. نمودار شماره ۳ میزان نشان دار شدن سلولها در کشت تک لایه‌ای در فازهای نمایی و ثابت را نشان می دهد.



نمودار ۴: مقایسه نسبت نشان دار شدن ( $LI$ ) در سلولهای کشت شده به صورت تک لایه‌ای در فازهای نمایی و ثابت بعد از انکوباسیون به مدت یک تا سه DT

میزان  $LI$  برای سلولها در فاز نمایی با نسبت  $97$  درصد و  $200/0001$  برای زمانهای انکوباسیون متفاوت ثابت باقی ماند. در کشت تک لایه ای به صورت ثابت،  $LI$  با افزایش زمان انکوباسیون افزایش یافت ( $P < 0.001$  و  $r = 94\%$ ) و این افزایش از

با *ludR* بعد از ۵۲ ساعت انکوباسیون برای اسفروئیدهای کوچک در غلظتهای ۱۰۰ میکرومولار و ۱۰ نانومولار بالاتر از اسفروئیدهای بزرگ بود (نمودار ۲). همچنانکه اندازه اسفروئید افزایش می‌یابد، سلولهای پریفرال که دارای شرایط تغذیه‌ای مناسب هستند شروع به تقسیم می‌کنند ولی سلولهای داخلی به دنبال کاهش شرایط تغذیه‌ای و اکسیژن از چرخه سلولی خارج و وارد فاز  $G_0$  یا استراحت می‌شوند (۱۳). بنابراین این احتمال می‌رود که در اسفروئیدهای بزرگ میزان برداشت *ludR* به دلیل پایین بودن درصد سلولها در فاز S کاهش یابد. افزایش زمان انکوباسیون از یک به چهار واحد دو برابر شدن حجمی نسبت سلولهای نشاندار شده با *ludR* را در اسفروئیدهای کوچک و بزرگ افزایش داد که احتمالاً به دلیل ورود *ludR* به سلولهای دارای قابلیت تقسیم کمتر است؛ مانند سلولهایی که در شرایط هیپوکسیک یا در ناحیه با مواد غذایی کمتر قرار دارند.

در مقایسه با کشت تک‌لایه‌ای سلولهای UVW در هنگام رشد در قالب اسفروئید دچار کاهش در ریت تقسیم سلولی می‌شود که کاهش نسبت سلولها در سیکل سلولی را به دنبال دارد. کاهش فعالیت تقسیم سلولی ممکن است به دلایل مختلفی مانند تجمع ضایعات متابولیکی، کاهش اکسیژن و مواد غذایی در سلولهای داخلی اسفروئید صورت گیرد (۱۳).

*ludR* پرتو درمانی سلول هدف زمانی کاملاً موفق خواهد شد که تمام سلولهای تومورال پاک شوند. بنابراین باید روش درمانی دقیقی طراحی شود تا بر محدودیتهای ناهمگونی تقسیم سلولی، حضور سلولها در فاز  $G_0$  و سلولهای دارای چرخه سلولی طولانی غلبه نماید. این آزمایشات به روشنی نشان داد که افزایش زمان انکوباسیون اجازه خواهد داد تا اکثر سلولهایی که در چرخه سلولی قرار دارند با *ludR* نشاندار شوند. این مسئله در درمان یا قراردادن سلولهای باقیمانده ترموری در معرض تشعشع حاصل از پرتو درمانی برای زمانهای متفاوت حاصل خواهد شد.

در میان روشهای مختلفی که برای تامین زمان لازم وجود دارد، می‌توان به کپسولهای پولیمر انباشته شده از رادیو دارو با قابلیت رهاسازی متفاوت و پمپ میکرواسموتیک اشاره کرد.

در تقسیم سلولی بود. نتایج به دست آمده تأیید کننده این نکته بود که غلظت مؤثر *ludR* برای تعیین نسبت *ludR* در حالات متفاوت کشت سلولی (تک لایه‌ای و اسفروئید) ضروری است.

همانگونه که در نمودار ۱ نشان داده شده است، *ludR* در کشت تک لایه‌ای در فاز نمایی به حداکثر میزان خود یعنی ۹۷ درصد در غلظت یک میکرومولار رسید، در حالی که *ludR* در اسفروئیدها با افزایش غلظت *ludR* تا ۱۰۰ میکرومولار افزایش یافت (نمودار ۲). شاید علت این اختلاف غلظت بسیار پایین *ludR* باشد که در اندازه گیری فلوسیتومتری پایین تر از آستانه حساسیت دستگاه است؛ در حالی که در غلظتهای بالاتر این اندازه گیری عملی تر انجام می‌شود و حتی احتمال افزایش بیشتر *ludR* با افزایش غلظت وجود دارد. به هر حال یکی از اهداف این مطالعه مشخص نمودن غلظت مناسب برای انجام مطالعاتی بود که بتواند تأثیر زمان انکوباسیون بر *ludR* را نشان دهد و به نظر می‌رسد که غلظت ۱۰۰ میکرومولار که حدوداً همان غلظت مورد استفاده در پزشکی است می‌تواند این نکته را ارائه دهد.

*ludR* زمانی وارد DNA می‌شود که سلول در فاز S قرار دارد. بنابراین نسبتی از سلولها که سیکل سلولی آنها طولانی تر از زمان انکوباسیون با *ludR* است ممکن است نشاندار شده باقی بمانند. در کشت تک‌لایه‌ای در فاز نمایی میزان *ludR* با افزایش زمان انکوباسیون تغییری نکرد (نمودار ۳). این نتیجه نشان می‌دهد که تنها تعداد کمی از سلولها دارای سیکل سلولی بالاتر از میانگین بوده‌اند که این خود بیانگر ناهمگونی تقسیم سلولی کمتری در سیکل سلولی سلولهای فاز نمایی است.

در حالی که در کشت تک‌لایه‌ای در فاز نمایی حدود ۹۵ درصد سلولها و در فاز ثابت حدود ۶۲ درصد سلولها پس از یک (نمودار ۳) نشاندار شده بودند نسبت نشاندار شدن در اسفروئیدهای کوچک (۲۰۰-۱۰۰ میکرومتر) حدود ۷۶ درصد و برای اسفروئیدهای بزرگ (۱۰۰۰-۷۰۰ میکرومتر) حدود ۲۸ درصد پس از یک واحد دو برابر شدن حجمی بود (نمودار ۴). نتایج به دست آمده با غلظتهای متفاوت *ludR* نشان دهنده یک نسبت معکوس بین سلولها در چرخه سلولی و قطر اسفروئید است. درصد سلولهای نشاندار شده

## References

- Hoshino T, Wilson CB: Cell kinetic analyses of human malignant brain tumors (gliomas). *Cancer* 1979; 44: 956-962
- Mayer JS, Connor RE: In vitro labelling of solid tissues with tritiated thymidine for autoradiographic detection of S-phase nuclei. *Stain Technol* 1977; 52: 185-191
- Kury G, Catret HW: Autoradiographic study of human nervous system tumours. *Arch Pathol* 1965; 80: 38-42
- Tannock IF: Cell kinetics and chemotherapy: A critical review. *Cancer Treat Rep* 1978; 62: 1117-1133
- Assetti R, Butti G, Magrassi L, Donovan M, Riccardi A, Gaetani P: Cell-kinetic characteristics of human brain tumours. *Oncology* 1990; 47: 344-351
- Perez L A, Dombkowski D, Efrid J, Preffer F, Suit HD: Cell proliferation kinetics in human tumour xenografts measured with iododeoxyuridine labelling index and flow cytometry: A study of heterogeneity and comparison between different methods of calculation and other proliferation measurements. *Cancer Res* 1995; 55: 392-398
- O'Donoghue JA, Bardis M, Wheldon TE: Relationships between tumour size and curability for

uniformly targeted therapy with beta-emitting radionuclides. *J Nucl Med* 1995; 36: 1903-1909

8. Kassis AI, Abbelein SJ: Preclinical animal studies with radiolabeled IUDR. *J Nucl Med* 1996; 37: 343-352

9. Kassis AI: Toxicity and therapeutic effects of low-energy electrons. *Nucl Instrum Meth Phys Res [B]*, 1994; 87, 279-284

10. Baranowska-Kortylewicz J, Makrigiorgos GM, Van den Abbeele AD, Berman RM, Adelstein SJ, Kassis AI: 5[123I] iodo-2'-deoxyuridine in the radiotherapy of an early ascites tumour model. *Int J Radiat Oncol Biol Phys* 1991; 21: 1541-1551

11. Neshasteh-Riz A, Mairs RJ, Angerson WJ, Stanton PD, Reeves JR, Rampling R, Owens J, Wheldon TE: Differential cytotoxicity of [123I] IUDR, [123I] IUDR, and

[131I] IUDR to human glioma cells in monolayer or spheroid culture: effect of proliferative heterogeneity and radiation cross-fire. *Br J Cancer* 1998; 77(3):385-390

12. Mairs RJ, Wideman CL, Angerson WJ, Whateley TL, Reza MS, Reeves JR, Robertson LM, Neshasteh-Riz A, Rampling R, Owens J, Allan D, Graham DI: Comparison of different methods of intracerebral administration of radioiododeoxyuridine for glioma therapy using a rat model. *Br J Cancer* 2000; 82(1): 74-80

13. Olive PL, Durand RE: Drug and radiation resistance in spheroid: cell contact and kinetics. *Cancer Metast. Rev* 1994; 13: 121-138

